

三点アレー加速度記録による地盤ひずみの推定

京都大学工学部 正員 山田 善一 家村 浩和
 京都大学工学部 正員 伊津野 和行 中西 伸二
 大成建設 株式会社 正員 ○黒沢 亘

1. はじめに 本研究は、著者らの研究室において、昨年度より、デジタル型強震計を用いて計測を開始している、三点アレー加速度観測システムについて紹介するとともに、設置直後に得られた記録を用いて地盤変位を算出し、これより各観測点を結んだ地盤の水平面内の伸縮ひずみ、せん断ひずみなどに関する資料を提供しようとするものである。

2. アレー観測システムの概要 本観測は、1984年2月7日に三台のデジタル強震計 SAMTAC-17E を、日本鋼管株式会社中央技術研究所渡田地区内に設置して以来、現在も継続実施中である。強震計の設置状況を Fig.1 に示す。観測場所の地盤は、ほぼ平坦な旧埋立地で、水平で規則的な地層を持つが、比較的軟弱な地質で構成されている。

3. 地震動のアレー観測結果 本研究での解析データとして、1984年3月6日11:19 a.m. に発生した地震（震源地：鳥島近海）を用いた。この地震の入力加速度波形を、Fig.2 に示す。（観測点：No.1~No.3, N-S 方向）これらは、いずれも、S 波到着時刻よりの記録である。

4. 地震動の速度、変位の算出 速度、変位を算出する前に、地震動の特性を知る必要がある。特に計測、数値化などの段階で混入して来る長周期成分波の存在などを知り、これを除去しなければならない。まず、地震動のスペクトル特性の非定常性を検討するため、ランニング・スベ

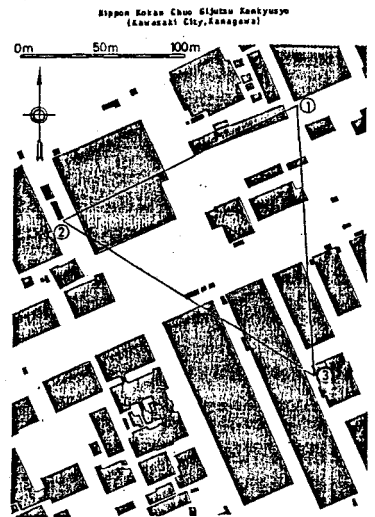


Fig.1 Locations of SAMTAC-17E

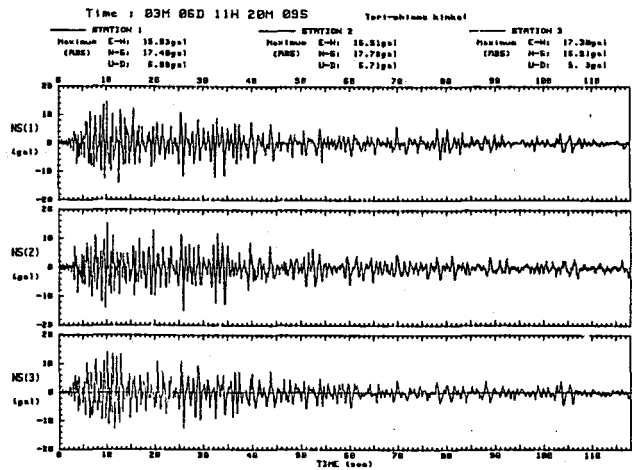


Fig.2 Recorded Accelerograms (N-S)

Yoshikazu YAMADA, Hirokazu IEMURA, Kazuyuki IZUNO, Shinji NAKANISHI, Wataru KUROSAWA

クトルを求めた。観測点 No.1 における 3方向のランニング・スペクトルを Fig.3に示した。同図に示すように、時間の経過につれて卓越振動数は低振動数側へ移っていくことが

わかる。この卓越振動数の移動は、その前半部において実体波を中心とした波動が、その後半部においては表面波を中心とした波動が、おのの卓越している結果であろうと考えられる。また、信頼性の高いデータを得るために長周期および短周期のノイズを除去するが、本研究では振動数範囲の異なる各種のフィルターによる解析結果を総合的に判定した結果、遮断振動数が 1/7~30 Hz の Ormsby フィルターを用いた。このような補正を行なった加速度記録を積分することにより、速度・変位を算出することができる。Fig.4 は、観測点 No.1 N-S 方向の補正加速度速度・変位の 3 波形を示す。

5. 有限要素式による地盤の平面ひずみの算出

Fig.1 の観測点 No.3 を原点とし、N-S を x 軸に、E-W を y 軸にとり局所座標系を想定して、前章 4. で得られた変位を二次元有限要素である節点（観測点）に作用させることにより、3 節点を結んだ地盤の平面ひずみ（N-S, E-W 2 方向の伸縮ひずみおよび、平面内のせん断ひずみ）を算出することができる。この結果を Fig.5 に示す。最大地盤ひずみは 38.3 マイクロ・ストレインという値を示したが、これは観測場所が軟弱な地盤であるということを考慮すると、妥当な値だと考えられる。

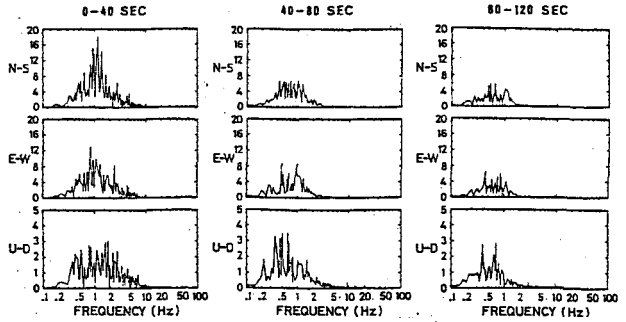


Fig.3 Running Spectra of Acceleration

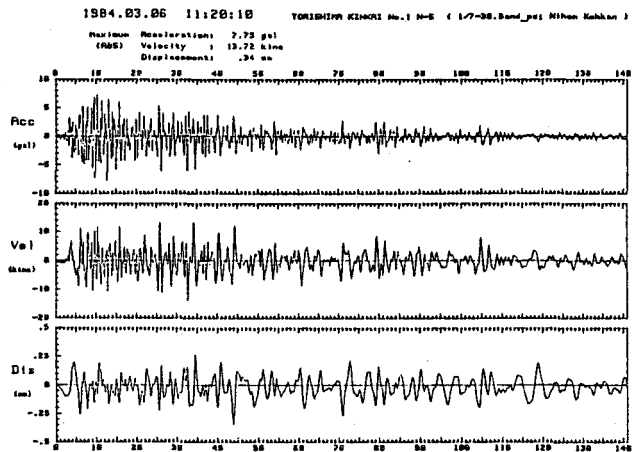


Fig.4 Corrected Acceleration, Velocity and Displacement (No.1 N-S)

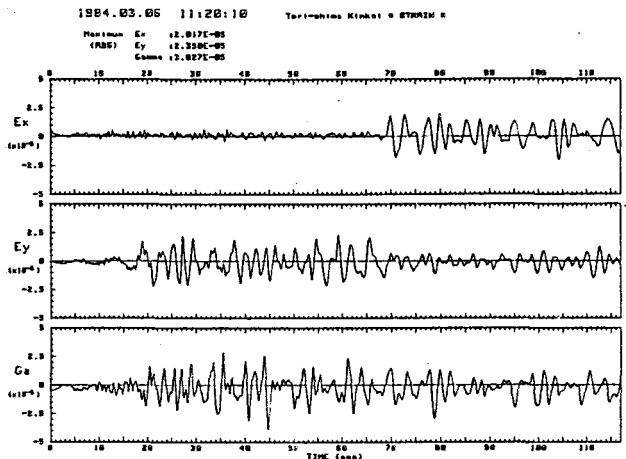


Fig.5 Calculated Ground Strains